

高二地理 期中复习卷一

(分值：100分)

姓名: _____ 班级: _____

学号: _____

学号


[0][1][2][3][4][5][6][7][8][9]

[0][1][2][3][4][5][6][7][8][9]

[0][1][2][3][4][5][6][7][8][9]

[0][1][2][3][4][5][6][7][8][9]

[0][1][2][3][4][5][6][7][8][9]



ID:1775607377661

一、单选题(46分)

探月工程四期鹊桥二号中继星在2024年3月20日8时31分由长征八号遥三运载火箭在中国文昌（110° E，20° N）航天发射场成功发射升空。2024年3月25日0时46分，鹊桥二号中继星在距月面约440公里处开始实施近月制动，约19分钟后，顺利进入环月轨道飞行。将为嫦娥六号在月球背面进行月球样品采集任务提供通讯支持。图1是鹊桥二号围绕月球运行的演示图。据此完成1-3题。

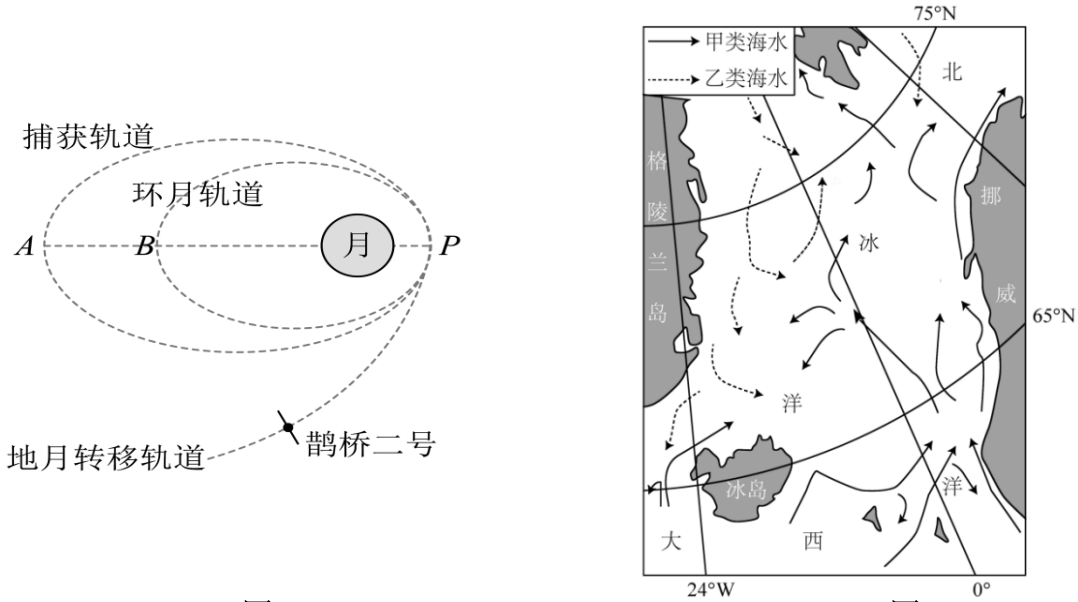


图1

- 1.长征八号遥三运载火箭发射时，全球处于3月19日的范围占全球范围的比例大约是（ ）
- [A] 略大于1/3 [B] 略小于1/3 [C] 略大于1/2 [D] 略小于1/2
- 2.从鹊桥二号中继星升空到进入环月轨道飞行期间，下列说法不正确的是
- [A] 南京街道路灯开启时间逐渐推迟
- [B] 北京正午太阳高度逐渐变大
- [C] 里约热内卢此时降水丰富，降水类型多为对流雨
- [D] 地球公转角速度变慢和线速度变快
- 3.下列关于我国卫星发射和着陆场地的描述，说法正确的是
- [A] 酒泉与其他发射场相比多大风、沙尘暴等天气，发射窗口期短
- [B] 海南文昌较其他航天发射场交通便利，便于大型设备运输
- [C] 内蒙古东风着陆场一带人口、聚落和交通线较密集，便于搜救
- [D] 海南文昌航天发射场地球自转线速度大，发射燃料消耗较多

挪威和格陵兰岛之间的海域存在海洋锋现象（海洋锋由海水性质明显不同的两类水体交汇形成）。图2为该海域海水运动示意图。据此完成4-6题。

- 4.关于图中甲、乙两类海水性质及主导因素判断正确的是
- [A] 乙盐度高—蒸发 [B] 甲温度低—纬度 [C] 乙密度大—温度 [D] 甲密度大—盐度
- 5.该海域存在一条明显的海洋锋，其走向是
- [A] 东北—西南走向 [B] 东—西走向 [C] 西北—东南走向 [D] 南—北走向
- 6.海洋锋对地理环境的影响包括
- ①海水水平运动剧烈，污染物扩散快 ②水温水平变化剧烈，海上大雾多发
- ③水温垂直变化剧烈，密度分布均匀 ④海水垂直运动剧烈，渔业资源丰富
- [A] ①② [B] ③④ [C] ①③ [D] ②④

在地质图上某一岩层顶部海拔相同点的连线为构造等高线，可以直观地反映岩层的形态。图3为某区域同一岩层构造等高线和地形等高线示意图（单位：米），某专家在乙处钻探到该岩层的深度为130米。完成7-8题。

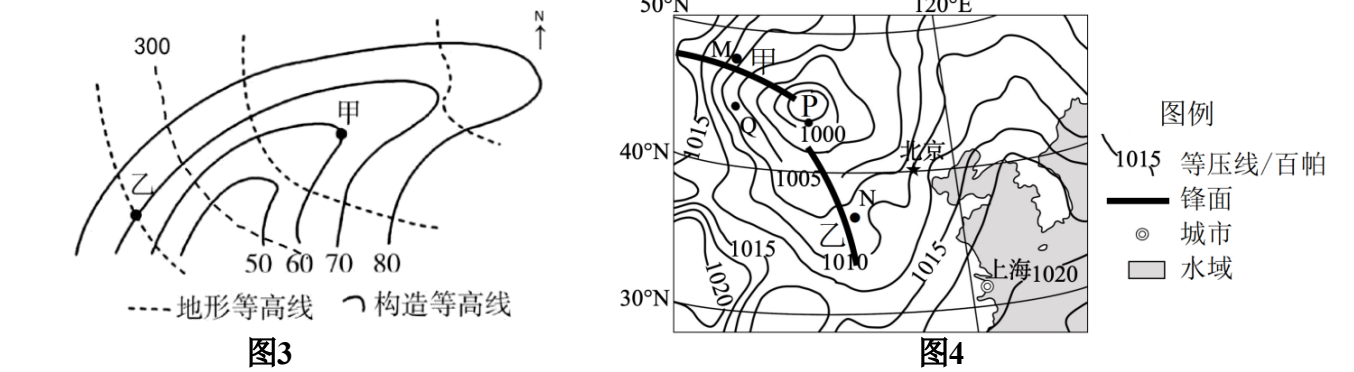


图3

- 7.该岩层在甲处的埋藏深度最浅可能是
- [A] 445米 [B] 335米 [C] 345米 [D] 435米
- 8.下列叙述正确的是
- [A] 乙处为良好的储油、储水构造 [B] 此处地貌是内外力共同作用的结果
- [C] 甲处发育河流，自东北流向西南 [D] 此处地质构造是岩层受张力形成的

某年4月18日15时上海市经历了一次持续的浓雾天气，图4为该日我国局部地区海平面气压分布情况。甲、乙为锋面。完成9-10题。

- 9.图示时刻
- [A] Q地天气晴朗，西风强劲 [B] M地为上升气流，偏西风强劲
- [C] N地阴雨天气，东北风强劲 [D] P地下沉气流，风力较弱
- 10.此时，上海出现浓雾的原因有
- ①气温高，地面蒸发旺盛 ②风力较小，雾不易消散
- ③逆温显著，雾不易消散 ④偏南风，携带暖湿气流
- [A] ①② [B] ②④ [C] ②③ [D] ①③

山体效应是由于隆起地块的热力因素，导致相同海拔山体内部比外部气温高的现象。受山体效应影响，山地垂直带界限如林线（森林分布的上界）、雪线（常见积雪的下界）等在内陆的巨型山体或者山系中央比外围地区分布要高。山体效应存在区域差异。表1为青藏高原与阿尔卑斯山林线高度对比。据此完成11-12题。

表1

位置	东部边缘		内部		西部边缘	
	青藏高原	阿尔卑斯山	青藏高原	阿尔卑斯山	青藏高原	阿尔卑斯山
林线高度(米)	3200-3800	1600-1700	4000-4900	2000-2400	3200-3800	1800-2000

- 11.山体效应主要是因为山体内部增强了
[A] 大气逆辐射 [B] 地面辐射 [C] 太阳辐射 [D] 大气辐射
- 12.造成青藏高原和阿尔卑斯山山体效应差异的因素是
①植被 ②面积 ③纬度 ④海拔 ⑤土壤
[A] ①②③ [B] ①③⑤ [C] ②③④ [D] ③④⑤
- 人口年龄结构三角图适合刻画国家人口结构的演变路径。图5描述我国东北地区及全国1966~2020年人口年龄结构演变路径。据此完成13-14题。

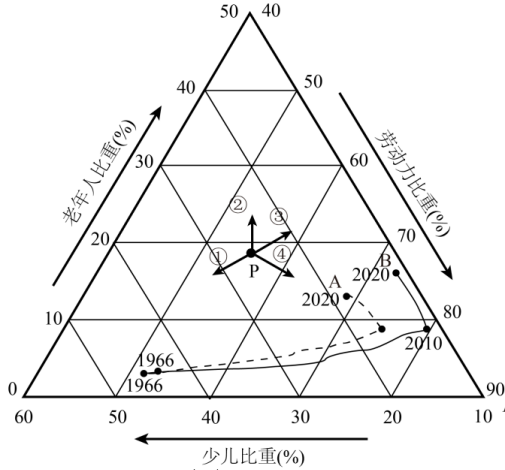


图5

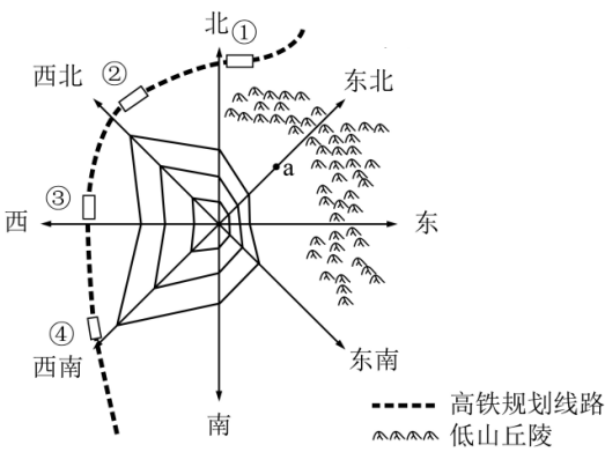


图6

- 13.图中P点所指的四个方向中②展示的显著特征对应正确的是
[A] 少子化凸显 [B] 老龄化加重 [C] 劳动力过剩 [D] 多子化趋势
- 14.图示A、B分别代表全国、东北地区人口年龄结构演变路径，其中描述准确的是
[A] 2010~2020年东北地区较全国老年人比重升高幅度大
[B] 1966~2010年东北地区较全国老年人比重高
[C] 1966~2010年全国较东北地区红利化更明显
[D] 2010~2020年全国较东北地区劳动力比重降低明显
- 城镇发展和自然环境等要素共同影响地租的高低，不同发展方向存在空间差异。图6示意我国某小城市的地租等值线分布，规划一条高速铁路绕城而过，并在该城附近设置站点。据此完成15-17题。
- 15.关于该城市地租变化的表述，正确的是
[A] 凹向市中心沿线交通最便利 [B] 中心向四周逐渐递增
[C] 向西北变化梯度最大 [D] 不同方向递变规律主因相同
- 16.下列功能区最有可能布局在a地的是
[A] 传统工业区 [B] 动漫创意园 [C] 科教文化区 [D] 高级住宅区
- 17.从促进城市发展角度，规划中的高铁站最适宜选址在
[A] ④ [B] ③ [C] ② [D] ①

森林工业是指从事木材生产和林产品加工的产业。芬兰位于欧洲北部，森林覆盖率达80%，森林工业是芬兰的传统优势产业，处于世界领先地位。芬兰科技发展水平高，信息通信技术全球领先。目前，芬兰是中国在北欧地区第三大贸易伙伴，中国连续多年为芬兰在亚洲最大贸易伙伴。图7为芬兰地理位置示意图，I、II、III为其典型地理分区。据此完成18-20小题。

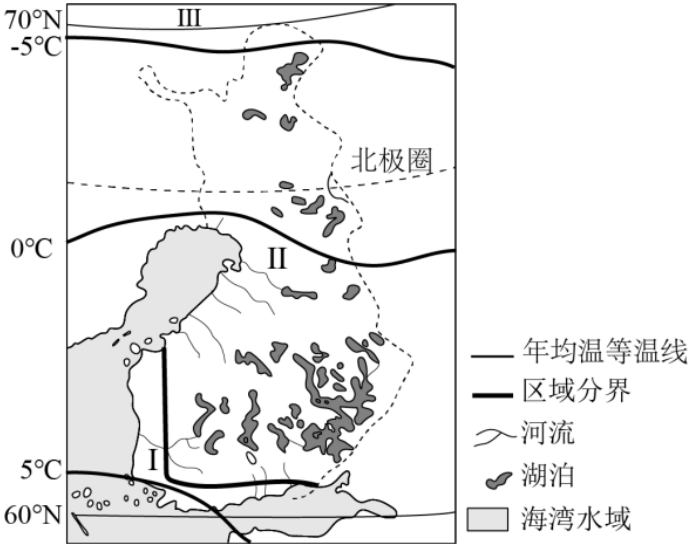


图7

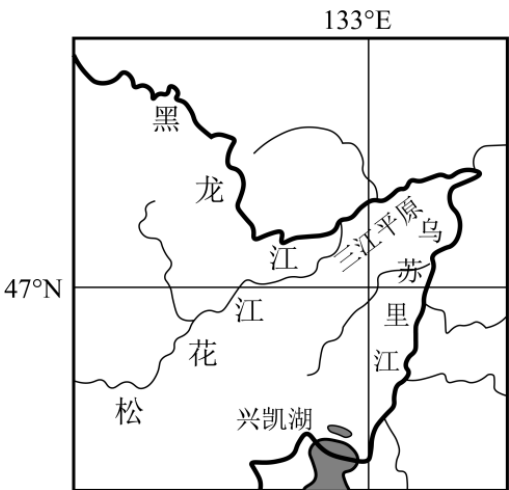


图8

- 18.芬兰森林工业在全球竞争中保持优势的核心因素是
[A] 生产规模巨大 [B] 林木种类多样
[C] 技术持续创新 [D] 发展历史悠久
- 19.I、II、III是芬兰的典型地理分区，对应正确的是
[A] I—驯鹿区、II—森林区、III—耕作区
[B] I—森林区、II—耕作区、III—驯鹿区
[C] I—耕作区、II—驯鹿区、III—森林区
[D] I—耕作区、II—森林区、III—驯鹿区
- 20.为促进可持续发展，中芬未来深度合作的领域可能是
①绿色转型 ②养老产业 ③传统基建 ④互联网与通信
[A] ①②④ [B] ②③④ [C] ①②③ [D] ①③④
- 三江平原是重要的水稻种植区，在农事安排上有“不插六月秧”的说法。每年4-5月，省内外大批“插秧客”前往三江平原备耕、插秧。近年来到三江平原的“插秧客”有所减少，但“插秧客”中年轻人明显增多。图8为三江平原地理位置，据此完成21-23小题。
- 21.三江平原不插六月秧的原因是
[A] 雨季来临降水过多 [B] 户外炎热不利插秧
[C] 减少病虫害的危害 [D] 规避秋季低温风险
- 22.近年来，到三江平原的“插秧客”有所减少，主要原因是
[A] 水稻种植效益降低，换种新作物 [B] 国家政策限制外来务工人员流动
[C] 机械化水平提高，人力需求减少 [D] 当地人口外流严重，劳动力短缺
- 23.“插秧客”中年轻人明显增多的主要原因是
[A] 年轻人更适应短期、灵活的务工方式
[B] 机械化更需技术，年轻人学习能力强
[C] 插秧工作收入较高，吸引年轻人返乡
[D] 随着土地流转推进，需要大量劳动力

高二地理 期中复习卷一

(分值：100分)

姓名: _____ 班级: _____

学号: _____

学号

[0] [1] [2] [3] [4] [5] [6] [7] [8] [9]
[0] [1] [2] [3] [4] [5] [6] [7] [8] [9]
[0] [1] [2] [3] [4] [5] [6] [7] [8] [9]
[0] [1] [2] [3] [4] [5] [6] [7] [8] [9]
[0] [1] [2] [3] [4] [5] [6] [7] [8] [9]



ID:1775607377661

二、非选择题(54分)

24.阅读图文材料，完成下列要求。（18分）

吉林省九台区地处长白山与松辽平原之间的丘陵地带，地势西南低，东部高。该地区四季分明，盛行西南风，年平均气温和年降水量分别为5.3℃和568mm。区内的三岔河中上游地区位于典型黑土区，开垦时间相对较早，沟蚀现象高发。某科研团队对三岔河中上游不同垄作方式不同坡向耕地沟蚀情况（通常用沟蚀密度和裂度综合表示沟蚀情况，值越大代表沟蚀越严重）进行研究并绘制出下图（图9，图10，图11）。

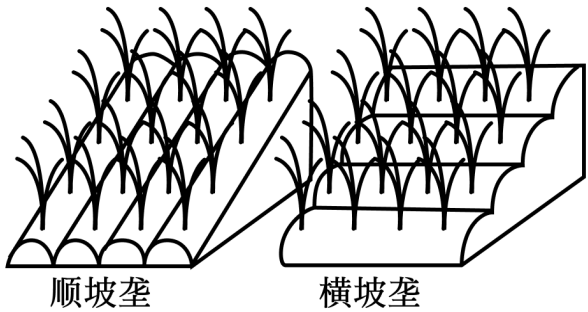


图9 顺坡垄和横坡垄示意图

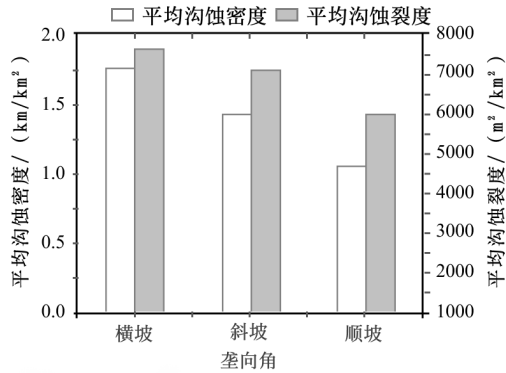


图10 不同垄作方式平均沟蚀密度及平均沟蚀裂度

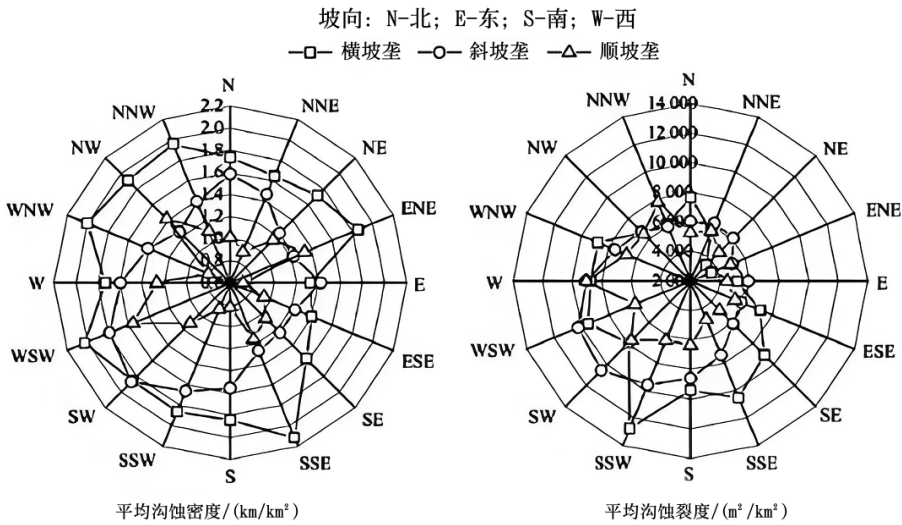


图11 不同垄作方式不同坡向的平均沟蚀密度及裂度

24(1).(6分)

0 1 2 3 4 5 6

(1) 分析三岔河中上游地区水土流失严重的原因。

24(2).(6分)

0 1 2 3 4 5 6

(2) 据图9、图10指出平均沟蚀最严重的垄作方式并分析可能原因。

24(3).(6分)

0 1 2 3 4 5 6

(3) 据图11判断整体沟蚀最严重的坡向并分析原因。

25.阅读图文材料，完成下列要求（18分）

材料一 2024年6月14日，福建省人民政府颁布了《厦漳泉都市圈发展规划》。厦漳泉都市圈包含厦门、漳州、泉州三个设区市除华安县、永春县、德化县以外的区域，属闽南文化圈，对台联系紧密。陆域占全省的16%，人口占全省的44%，GDP占全省49%。海岸线曲折漫长，多为基岩海岸，占全省海岸线的34%。图12、图13示意“福建省地形与主要水系”和“厦漳泉都市圈范围及交通状况”。

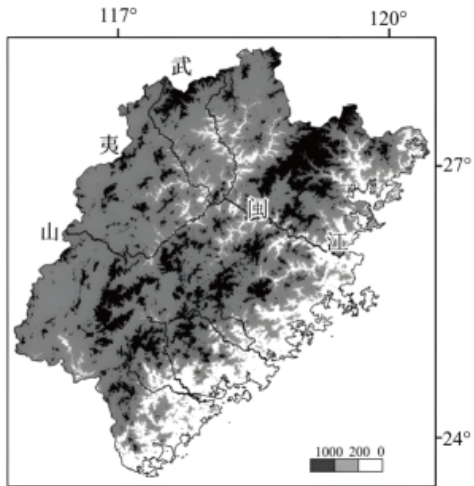


图12

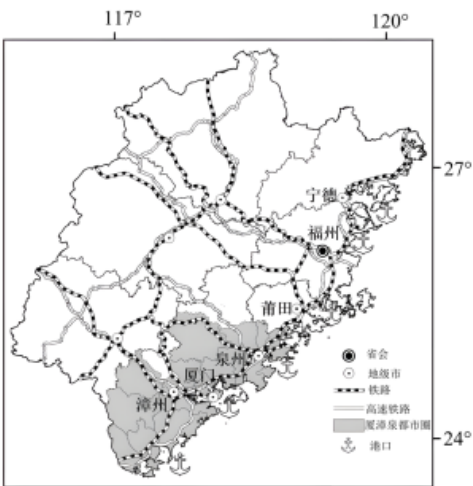


图13

材料二 表2为厦门、漳州、泉州部分经济数据统计表。

表2						
城市	GDP (亿元)	人均GDP (万元/人)	第一产业	第二产 业	第三产 业	主导产业（按产值排列）
厦门	8066.5	15.2	0.4%	35.6%	64.1%	电子信息产业、机械装备产业、商贸物流产业、金融服务业
泉州	12170.2	13.7	2.1%	53.2%	44.7%	纺织鞋服产业、石化产业、机械装备产业、电子信息产业
漳州	5728.4	11.3	10.5%	47.0%	42.5%	食品加工产业、石化产业、机械装备产业、特色农业

25(1).(6分)

评价厦漳泉都市圈港口的水域条件。

0	1	2	3	4	5	6
---	---	---	---	---	---	---

25(2).(6分)

从福建省自然地理特征的角度，分析厦漳泉都市圈港口经济腹地小的原因。

0	1	2	3	4	5	6
---	---	---	---	---	---	---

25(3).(6分)

提出能够深化厦漳泉三地融合，增强都市圈辐射能力的合理化措施。

0	1	2	3	4	5	6
---	---	---	---	---	---	---

26.阅读图文材料，完成下列要求（18分）

新中国成立后，上海开启了郊区城镇化进程（图14），逐步在郊区规划建设了许多功能区，促进各类要素在此集聚。2001年后，上海在郊区建设新城，完善基础设施和公共配套，布局大型购物中心，逐步实现产城融合。

临港新城（L）是上海产城融合的典范，中国新闻网对此报道：“脚下是陶瓷废料制成的再生地砖，蓝色透水沥青路旁边草木葱茏。海风徐徐，树影婆娑，高达50%的森林覆盖率让临港不仅空气清新，而且较别处更多了几分清凉。围绕滴水湖，已经形成了功能各异的城市环带。

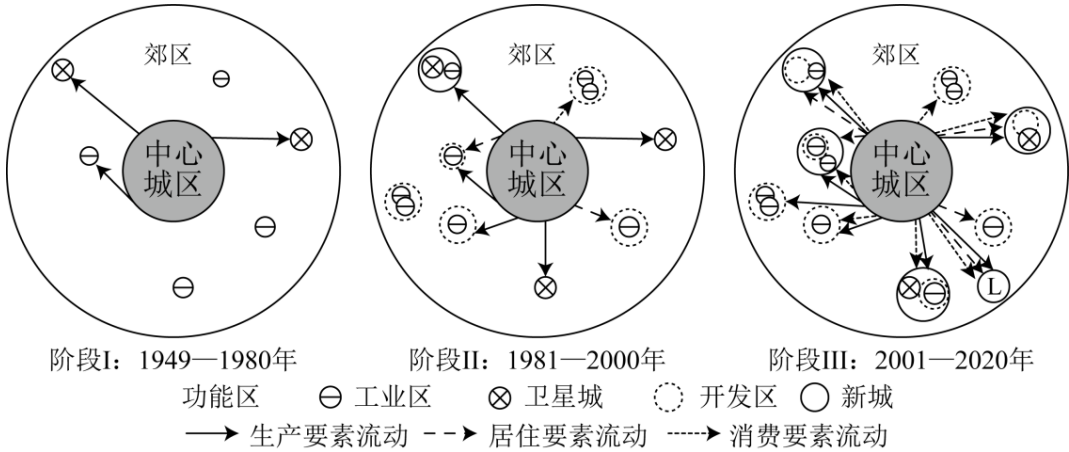


图14

26(1).(6分)

据图归纳阶段I到Ⅲ上海郊区功能区演变的特点。

0	1	2	3	4	5	6
---	---	---	---	---	---	---

26(2).(6分)

从集聚效应的角度，分析上海郊区大型购物中心对其他商家的影响？

0	1	2	3	4	5	6
---	---	---	---	---	---	---

26(3).(6分)

为什么说临港新城的建设是典范？

0	1	2	3	4	5	6
---	---	---	---	---	---	---